

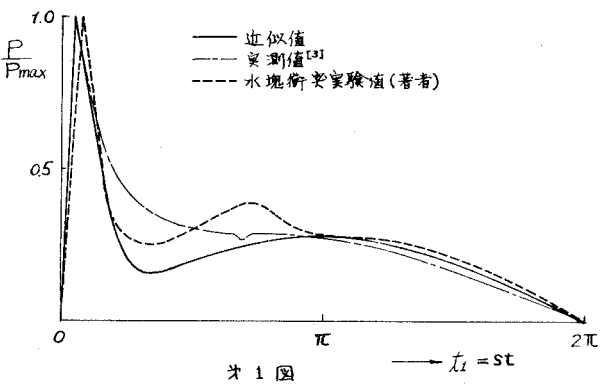
I-45 衝突波を受ける鋼構造物の過渡応力について.

九州大学工学部 正員 山崎徳也
 " 応用力学研究所 梶原寿郎
 " " 肥山 央
 運輸省 正員 高力健次郎

1 ま え が き、鋼管束等の鋼製海岸構造物に砕波の衝突の場合、此構造物に生ずる過渡振動応力は、平均打ち波高(平均波高)の間隔(T_p)、腰波部平均圧力(P_0)、作用時間(T_0)、および構造物の固有振動周期(T_0)によって決まる(T_p/T_0)が一定値の場合、最大応力は、一般に防波堤等のコンクリート構造物では(T_p/T_0)が一定値に比べるから小さいので、場合応力は、連続した波列の平均値(平均波高)に(T_p/T_0)が一定値に近い値あるいはそれより大い値をとる。が、あるこの範囲では実際の波圧について衝撃係数を求めるより、実際の波圧の突刺例の代表的と思われるものについて衝撃係数を求め、波高の固有振動周期の略算式を導き出す。また、実際の波圧の突刺例に与えられた水圧の時間的変化が砕波の衝突による水圧変化と類似した波形なることを利用して種々の剛性の板の振動方程式が円弧形状の過渡応力と計測した記理論の定性的裏付けを行つた。

2. 衝撃係数. 衝撃圧力を(1)式で近似する.

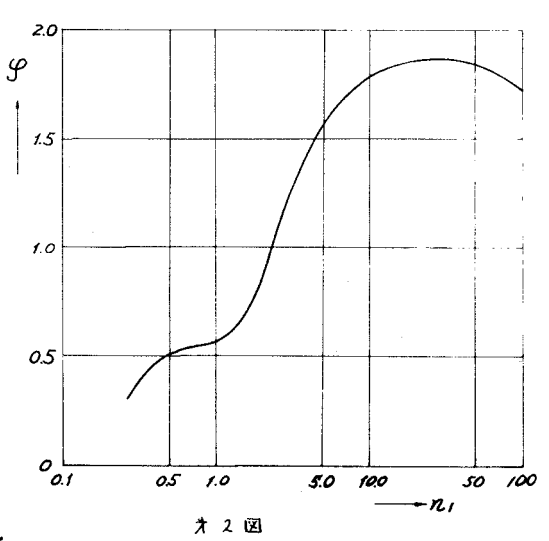
$$P = P_0 \left\{ \frac{1}{K} e^{-Kt} \sin St + C \sin mt \right\} \quad (1)$$
 ただし P_0, K, r, S, C, m は波圧時間曲線の初期値の定数であり
 今 $K = 0.0556, C = 0.2785, r = 14.331, S = 21.66$
 $m = 1.083$ とおいて実際の波圧例と比較すると(1)図のようになる。



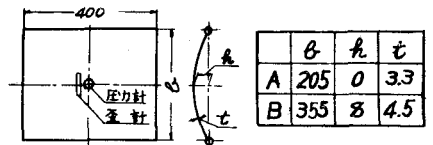
板および円弧形状の振動は(2)式振動のみを考慮することにし
 エネルギー法を用いて解を求めると(2)(3)式となる。
 今撓みを W とすると $W = U(x, y) \Phi(t)$ (2)
 こゝに $U(x, y)$ は場所の函数、 $\Phi(t)$ は時間の函数である。
 したがって $\Phi(t) = P_0 \left\{ \frac{1}{K} \Phi_{15} + C \Phi_{25} \right\}$ (3)

ただし $\Phi_{15} = \left\{ A_1 \sin n_1 t_1 + B_1 \cos n_1 t_1 + C_1 e^{-n_1 t_1} + D_1 e^{n_1 t_1} \right\}$
 $A_1 = \frac{n_1 \gamma_1 - \alpha_1}{n_1 (\alpha_1^2 + \gamma_1^2)}, B_1 = -\frac{\gamma_1}{\alpha_1^2 + \gamma_1^2}, C_1 = \frac{\alpha_1}{\alpha_1^2 + \gamma_1^2}, D_1 = -E_1$
 $\gamma_1 = \gamma_1^2 + n_1^2 - 1, \gamma_1 = 2r_1$
 $\Phi_{25} = \left\{ E_1 \sin m_1 t_1 + F_1 \sin m_1 t_1 \right\}$
 $E_1 = -\frac{m_1}{n_1 (m_1^2 - n_1^2)}, F_1 = \frac{1}{n_1^2 - m_1^2}$
 $t_1 = St, n_1 = n/s, m_1 = m/s, t_1 = r/s$
 n_1 : 構造物の自由振動の際の円振動数.

衝撃係数 φ は $\varphi = \frac{W_{st}}{W_{st}} = \left(\frac{M}{S} \right) \frac{\Phi_{s \max}}{P_{\max}}$ (4)
 で表わされる。 W_{st} : P_{\max} が静的に加えられた時の撓みである。
 φ を求める図示したものが(2)図である。図中の曲線は $m_1 = 0.5$
 近傍にあるわたした凸凹部は(1)式(2)項によるものである。
 また $n_1 = T_0/T_0$ で T_0 は平均打ち波高の腰波部を含めた
 波圧の全作用時間と表し T_0 は構造物の固有振動周期である。



1 表は板の円形孔形状の α を示す。式中で板が円形孔形状に適用する ρ_0 および ρ_1 は、それらの単位面積当たりの質量と水の慣性質量の和を、防波堤はどのフット構造に比べ、鋼構造の場合水の慣性質量の影響が著しくおそれ、 ρ_0 及び空中における振動数のまばらさになる。慣性質量に関しては ρ_0 の一覽が発表されており、現任の問題に対して、一応これらの式によってその値を決定することが出来るが、特に衝突波とゆう特殊な場合については更に詳細な研究が必要であると思われ。

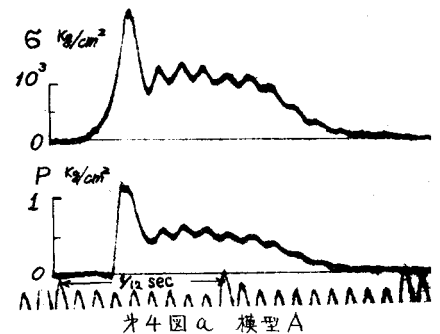


才3図

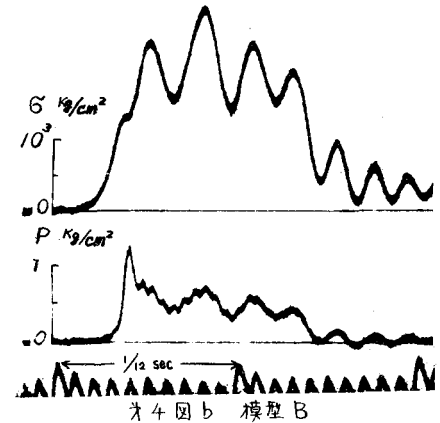
才1表

主梁と持ち梁 両端支持	$\eta = \frac{EI}{\rho_0 R^4} \left[1 - \left(\frac{\alpha}{R}\right)^4 + 0.82 \left(\frac{\alpha}{R}\right)^2 \right]$
両端固定	$\eta = \frac{EI}{\rho_0 R^4} \left[\frac{1}{2} \left(\frac{\alpha}{R}\right)^4 - 1 \right] + \frac{3}{2} \left(\frac{\alpha}{R}\right)^2$
柱に板 周辺支持	$\eta = \frac{D}{R^2} \pi \left[\left(\frac{\alpha}{R}\right)^4 - \left(\frac{\alpha}{R}\right)^2 \right]$
周辺固定	$\eta = \frac{16}{9} \frac{D}{R^2} \pi \left[3 \left(\frac{\alpha}{R}\right)^4 + \left(\frac{\alpha}{R}\right)^2 + 2 \left(\frac{\alpha}{R}\right)^2 \right]$

ここに α : 中心角 R : 断面二次モーメント
 D : 平均径 EI : 曲げ剛性
 D : 板の抗弯剛性 a, b : 板の辺長



才4図 a 模型 A



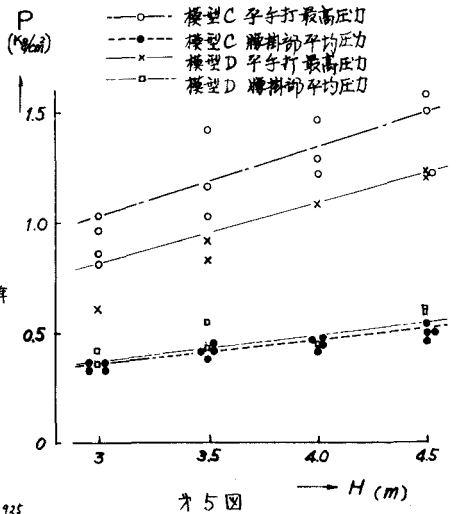
才4図 b 模型 B

実験 水塊を2~4.5mの種の高さから落下させ、図3のよう板が円形孔形状に衝突した時の衝撃水圧及び透過波力と計測した。才図(a) (b)はその例を示す。これの明らかな事は、板の固有振動周期が短い時は、即ち水圧に比例した応力変化を示す(才図(a)参照) (T_0/T_0) のある特定値に近づくたば、透過波振動力を発生する。(才4図も参照)

才5図は、平打最高圧力と、欄脚部平均圧力の大きさを水塊の落下距離に対してプロットしたものである。この実験が平打最高圧力の大きさをそれを受ける構造物の剛性および振動質量によって変化すること、欄脚部平均圧力はこれと変化しない事が判る。图中模型Cは400mm x 355mm x 12mmの矩形鋼板で長辺固定、短辺自由であり、模型Dは400mm x 355mm x 4.5mmで長辺単純支持、短辺自由である。平打最高圧力の変化することは、特に鋼構造の前波浪強度を論議上で注目すべき問題であり、今後理論的および実験的研究を進めようである。

文献

(1) 林泰造 船体と船体の衝突に場合の水平波の浸透の研究、船体工学講演会講演集昭和29年
 (2) 武藤清一 船体と構造物の弾性振動について、建築学会論文集 昭和15年
 (3) 栗林隆一 防波堤に付く浪圧について、(才1表) 才5図 海岸工学講演会講演集 昭和33年
 (4) 鬼頭文城 水中に於ける振動する鋼板の附加質量について、造船協会雑纂 昭和19年5月
 (5) 小坪清真 筒形水中橋脚の弾性振動、九大卒業論 昭和39年11月
 (6) The Lowest Natural Frequency of Circular Arches by Don Hartley, Philosophical Magazine, Vol 5, 1925



才5図